



## دراسة عملية ونظرية لسلوك الامتزازي وللخصائص الكهربائية لبعض معوضات دراسة العلاقة بين ترددات الاهتزاز ورتبة التآصر لأواصر CH و CC لجزيئة الكورونين وجذورها الأيونية الموجبة والسالبة باستخدام حسابات ميكانيك الكم

رحاب ماجد كبة منال عبيد مثنى شنشل

جامعة بغداد - كلية العلوم

### الخلاصة:

تم حساب ترددات الاهتزاز و شدد امتصاص الأشعة تحت الحمراء و الإحداثيات المتعامدة لجذري أيون الكورونين الموجب الشحنة والسالب الشحنة، مستخدمين حسابات ميكانيك الكم وفق نموذجي الحساب التقريبي MINDO/3 و PM3 و نموذج الحساب التام ((DFT (B3LYP/6-311G)). و قد مكنت الحسابات من التعريف الصحيح لجميع ترددات الاهتزاز المقاسة تجريبيا للأيون الموجب لهذه الجزيئة، و بالصيغتين التماثلية و التكافؤية. كما أمكن التنبؤ بجميع ترددات الاهتزاز للأيون السالب للجزيئة نفسها. و بناء على هذه التعريفات فقد أمكن إجراء المقارنة بين ترددات الاهتزاز للأيونين وعلى وفق التماثل المحسوب لهما (D2h)، و الجزيئة المتعادلة ذات التماثل (D6h). تبين أيضا أن تردد مط الأصرة C-H يعتمد مباشرة مع كثافة الإلكترونات نوع σ لذرات الكربون العائدة لها، ولايصح لاواصر CC.

### معلومات البحث:

تاريخ التسليم: 2010/10/17  
تاريخ القبول: 2011/2/10  
تاريخ النشر: 2012 / 6 / 14

DOI: 10.37652/juaps.2011.15457

### الكلمات المفتاحية:

ترددات الاهتزاز ،  
رتبة التآصر ،  
أصرة CH أصرة CC ،  
الكورونين ،  
حسابات ميكانيك الكم.

### المقدمة:

جرت محاولات عديدة لقياس طيف الأشعة تحت الحمراء لجزيئة الكورونين تجريبيا باستخدام تقنية الأنسجة الجزيئية المعزولة Isolated matrix من Szespanski & Vala عام [1] (1993)، ثم (Joblin, Hendcourt & Leger) عام [2] (1994) أعقبهم (Hudgins & Sandford) عام [3] (1998). أما دراسة الطيف الاهتزازي للجزيئة نظريا فقد قام بها Langhoff [4] . وكذلك (Fleischer & Pulay) [5] الذين قاما بحساب طيف رامان للجزيئة المتعادلة باستخدام حسابات دوال الكثافة DFT عند عناصر القاعدة (B3LYP/6-31G) عام (1998). وبدورنا قمنا بحساب ترددات الاهتزاز لجزيئة الكورونين وللايونينها الموجب و السالب باستخدام برنامج (Gauss03) [5] على وفق حسابات MINDO/3 و PM3 التقريبية و (DFT)(B3LYP/6-311G) التامة و بعدد (3N-6) ، و قورنت النتائج مع القيم المقاسة تجريبيا والمحسوبة نظريا [6].

### النتائج المناقشة

تم حساب القيم الهندسية (أطوال وزوايا التآصر) للجزيئة باستخدام برامج الحساب MINDO/3 و PM3 وحسابات (DFT)(B3LYP/6-311G) جدول (1) حيث تم اعتماد طريقة IUPAC في ترقيم الذرات شكل (1).

الكورونين جزيئة مستوية لها طيف بسيط رغم كونها جزيئة كبيرة بسبب التماثل العالي لها D6h، وتبعاً لتمائلها تم استخراج العدد الكلي للأصناف التماثلية (rtot.) وعدد التماثلات غير القابلة للاختزال irreducible representation كما يأتي:

$$\begin{aligned} \text{rtot.} &= 3N = 3 \times 36 = 108 = 6A1g + 6A2g + \\ &6B1u + 6B2u + 12E1u + 12E2g + 2A1u + 4A2u + \\ &4B1g + 2B2g + 6E1g + 6E2u \\ \text{rg} &= \text{rrot.} (A2g(Rz) + E1g(Rx, Ry)) + \text{rtran.} \\ &(A2u(Tz) + E1u(Tx, Ty)) \\ \text{rvib} &= \text{rtot.} - \text{rg} = 6A1g + 5A2g + 6B1u + 6B2u + \\ &11E1u + 12E2g + 2A1u + 3A2u + 4B1g + 2B2g + \\ &5E1g + 6E2u \end{aligned}$$

\* Corresponding author at: Baghdad University - College of Science;  
ORCID: <https://orcid.org/0000-0001-5859-6212> .Mobil:777777  
E-mail address:

و تشمل على 23 ترددا (NC-1) حيث NC عدد ذرات الكربون في الجزيئة. تتراوح القيم العددية لتردداتها بين (1656-1352) سم<sup>-1</sup>. جدول (2) و يلاحظ فيها ان:

$$v_{\text{sym}}(\text{CC str.})(1639 \text{ cm}^{-1}) > v_{\text{asym}}(\text{CC str.})(1584 \text{ cm}^{-1})$$

3- ترددات انحناء الأصرة CH عند مستوى سطح الجزيئة ( $\delta\text{CH}$ ) وعددها 12 ترددا بقدر عدد اواصر CH. و تتراوح القيم العددية لتردداتها بين (1262-1177) سم<sup>-1</sup> جدول (2)، وتكون فيها قيم ترددات الانماط غير المتماثلة اعلى منها للانماط المتماثلة اي ان:

$$v_{\text{asym}}(\delta\text{CH})(1196 \text{ cm}^{-1}) < v_{\text{sym}}(\delta\text{CH})(1262 \text{ cm}^{-1})$$

4- ترددات انحناء الحلقات العطرية عند مستوى سطح الجزيئة ( $\delta\text{CCC}$ )

وعدها 22 ترددا تتراوح قيمها بين (1055-376) سم<sup>-1</sup>، جدول (2)، و يلاحظ فيها:

$$v_{\text{asym}}(\delta\text{CCC})(690 \text{ cm}^{-1}) < v_{\text{sym}}(\delta\text{CCC})(1055 \text{ cm}^{-1})$$

ب- ترددات الأنماط الاهتزازية الواقعة خارج مستوى سطح الجزيئة.

و تشمل على 30 نمطا اهتزازيا منها 10 انماط ( $5E1g$ ) فعالة في طيف رامان و 3 انماط ( $3A2u$ ) فعالة في طيف الاشعة تحت الحمراء و 20 نمطا ( $6E2u, 2B2g, 4B1g, 2Au$ ) غير فعال في طيف رامان ولا طيف الاشعة تحت الحمراء صنفت بالشكل الآتي:

1- ترددات انحناء الأصرة CH خارج مستوى سطح الجزيئة ( $\gamma\text{CH}$ ).

وعدها اثنا عشر ترددا بقدر عدد اواصر CH تتمركز متجهات الازاحة فيها عند ذرات الهيدروجين لاواصر CH، تتراوح قيمها بين (1004-726) سم<sup>-1</sup>.

2- ترددات انحناء الحلقات العطرية خارج مستوى سطح الجزيئة ( $\gamma\text{CC}$ ).

وعدها احدى وعشرون ترددا ( $\text{NC-3}$ )، تتراوح قيمها بين (90-745) سم<sup>-1</sup>.

تصنف هذه التماثلات إلى 69 نمطا اهتزازيا ( $2N-3 = 69$ ) يقع عند مستوى سطح الجزيئة ويمتلك عملية الانعكاس ( $+\sigma_h$ ) في جدول القيم الذاتية، و 33 نمطا ( $N-3 = 33$ ) اهتزازيا يقع خارج مستوى سطح الجزيئة و يمتلك عملية الانعكاس ( $-\sigma_h$ ) في جدول القيم الذاتية (شكل-2).

$$\Gamma_{ip} = 6A1g + 5A2g + 6B1u + 6B2u + 11E1u + 12E2g$$

$$\Gamma_{op} = 2A1u + 3A2u + 4B1g + 2B2g + 5E1g + 6E2u$$

كما و يستدل من جدول القيم الذاتية، على امتلاك الجزيئة 40 نمطا اهتزازيا ( $5E1g, 12E2g, 6A1g$ )، فعالا في طيف رامان و 25 نمطا فعالا في طيف الأشعة تحت الحمراء ( $11E1u, 3A2u$ )، و 37 نمطا غير فعال في طيف رامان أو طيف الأشعة تحت الحمراء ( $2B2g, 4B1g, 2A1u, 6B2u, 6B1u, 5A2g$ ). و يبين الشكل (2) أنموذج من أنماط الحركة الاهتزازية لجزيئة الكورونين المتعادلة.

#### تصنيف ترددات الاهتزاز

أ- ترددات الأنماط الاهتزازية الواقعة عند مستوى سطح الجزيئة.

و تشمل 69 نمطا ( $11E1u, 6B2u, 6B1u, 5A2g, 12E2g, 6A1g$ ) اهتزازيا، 30 منها فقط ( $12E2g, 6A1g$ ) فعالة في طيف رامان و 22 نمطا ( $11E1u$ ) فعالا في طيف الاشعة تحت الحمراء، و 22 نمطا ( $6B2u, 6B1u, 5A2g$ ) غير فعال في طيف رامان او طيف الاشعة تحت الحمراء. وقد تم تصنيفها بالشكل الآتي:

1- ترددات مط الأصرة CH

وعدها 12 ترددا بقدر عدد اواصر CH. وتتراوح قيم تردداتها بين (3055-3031) سم<sup>-1</sup>. جدول (2) ويلاحظ فيها العلاقة الآتية:

$$v_{\text{sym}}(\text{CH str.})(3055 \text{ cm}^{-1}) > v_{\text{asym}}(\text{CH str.})(3034 \text{ cm}^{-1})$$

2- ترددات المط الحلقية.

### ترددات الاهتزاز لجذر الكورونين السالب (C24H12)

تم حساب ترددات الاهتزاز وشدة امتصاص الاشعة تحت الحمراء لجذر الكورونين السالب على وفق طريقة الحساب التقريبية MINDO/3 و طريقة تاحساب التام (حسابات DFT عند عناصر القاعدة B3LYP/6-311G) كما تم الحصول على اطوال الاواصر للجزيئة وصفاتها الفيزيائية جدول (3). وقد خلت حساباتنا من المقارنة مع القيم التجريبية او النظرية لافتقار الادبيات اليها.

جذر الكورونين السالب جزيئة مستوية تمتلك الشكل التماثلي D<sub>2h</sub>. تم استخراج العدد الكلي للاصناف التماثلية (rtot.) المحسوبة مع عدد التماثلات غير القابلة للاختزال كما يأتي:

$$rtot. = 3N = 3 \times 36 = 108 = 18A_g + 8B_{1g} + 10B_{2g} + 18B_{3g} + 8A_u + 18B_{1u} + 18B_{2u} + 10B_{3u}$$

$$rvib = 3N - 6 = (3 \times 36) - 6 = 102 = 18A_g + 7B_{1g} + 9B_{2g} + 17B_{3g} + 8A_u + 17B_{1u} + 17B_{2u} + 9B_{3u}$$

$$\Gamma_{ip} = 2N - 3 = (2 \times 36 - 3) = 69 = 18A_g + 17B_{3g} + 17B_{1u} + 17B_{2u}$$

$$\Gamma_{op} = N - 3 = 36 - 3 = 33 = 7B_{1g} + 9B_{2g} + 8A_u + 9B_{3u}$$

### تصنيف ترددات الاهتزاز لجذر الكورونين السالب

أ- ترددات الأنماط الاهتزازية الواقعة عند مستوى سطح الجزيئة.

#### 1- ترددات مط الاصرة CH

و تتراوح قيم تردداتها المحسوبة على وفق طريقة الحساب (DFT)(B3LYP/6-311G) بين (3027-2990) سم-1 وشدة امتصاصها بين (0.00-352) كم مول-1 و بالاطلاع على جدول (4) يمكن التوصل الى ان:

$$vsym (CH str.) (3027 cm^{-1}) >$$

$$vasym (CH str.) (3023 cm^{-1})$$

2- ترددات المط الحلقية.

وتتراوح قيم تردداتها المحسوبة على وفق طريقة الحساب (DFT)(B3LYP/6-311G) بين (1651-1349) سم-1 ، وشدة امتصاصها بين (0.00-450.6) كم مول-1 ، و بالاطلاع على جدول (4) يمكن التوصل الى ان:

$$vsym (CC str.) (1651 cm^{-1}) >$$

$$vasym (CC str.) (1632 cm^{-1})$$

3- ترددات انحناء الاصرة CH عند مستوى سطح الجزيئة.

و تتراوح قيم تردداتها الناتجة من حسابات (DFT)(B3LYP/6-311G) بين (1285-1045) سم-1 وشدة امتصاصها بين (0.00-357) كم مول-1 و بالاطلاع على جدول (4) نستنتج أن:

$$vasym (\delta CH) (1245 cm^{-1}) >$$

$$vsym (\delta CH) (1207 cm^{-1})$$

4- ترددات انحناء الحلقات العطرية عند مستوى سطح الجزيئة.

#### The in-plane ( $\delta$ CCC) vibrations

و تتراوح قيم تردداتها المحسوبة على وفق طريقة الحساب (DFT)(B3LYP/6-311G) بين (1168-131) سم-1 وشدة امتصاصها بين (0.00-31.45) كم مول-1، جدول (4) حيث ان:

$$vasym (\delta CCC) (1054 cm^{-1}) >$$

$$vsym (\delta CCC) (1047 cm^{-1})$$

ب- ترددات الأنماط الاهتزازية الواقعة خارج مستوى سطح الجزيئة.

#### 1- ترددات انحناء الاصرة CH خارج مستوى سطح الجزيئة ( $\gamma$ CH)

تتراوح قيم تردداتها المحسوبة على وفق طريقة الحساب (DFT)(B3LYP/6-311G) بين (1031-806) سم-1 وشدة امتصاصها بين (0.00-192.8) كم مول-1

#### 2- ترددات انحناء الحلقات العطرية خارج مستوى سطح الجزيئة ( $\gamma$ CC)

وتتراوح قيم تردداتها المحسوبة على وفق طريقة (DFT)(B3LYP/6-311G) بين (713-87) سم-1 وشدة امتصاصها بين (0.00-32.45) كم مول-1.

### ترددات الاهتزاز لجذر الكورونين الموجب +(C24H12).

قام هندكوت Hendcourt عام (1994) [8] والمندولا Allamandola عام (1995) [9] بقياس طيف الاشعة تحت الحمراء لجذر الكورونين الموجب تجريبيا باستخدام تقنية الانسجة الجزيئية

و تتراوح قيم تردداتها الناتجة من حسابات (DFT)(B3LYP/6-311G) بين (1639-1328) سم<sup>-1</sup> وشدة امتصاصها بين (363-0.00) كم مول<sup>-1</sup>, كما ويتضح من جدول (6) ان:

$$vsym (CC str.) (1584 \text{ cm}^{-1}) > \\ vasymp (CC str.) (1561 \text{ cm}^{-1})$$

3- ترددات انحناء الأصرة CH عند مستوى سطح الجزيئة ( $\delta CH$ ).

و تتراوح قيم تردداتها الناتجة من حسابات (DFT)(B3LYP/6-311G) بين (1272-1105) سم<sup>-1</sup> وشدة امتصاصها بين (80.7-0.00) كم مول<sup>-1</sup>, وبالاطلاع على جدول (6) نستنتج ان:

$$vasym (\delta CH) (1260 \text{ cm}^{-1}) > vsym (\delta CH) (1229 \text{ cm}^{-1})$$

4- ترددات انحناء الحلقات العطرية عند مستوى سطح الجزيئة ( $\delta CCC$ ).

و تتراوح قيم تردداتها الناتجة من حسابات (DFT)(B3LYP/6-311G) بين (1144-336) سم<sup>-1</sup> وشدة امتصاصها بين (89.0-0.00) كم مول<sup>-1</sup>, جدول (6) حيث ان:

$$vasym (\delta CCC) (1084 \text{ cm}^{-1}) > \\ vsym (\delta CCC) (1043 \text{ cm}^{-1})$$

ب- ترددات الانماط الاهتزازية الواقعة خارج مستوى سطح الجزيئة.

وعدها 33 نمطا اهتزازيا (7B1g, 9B2g, 8Au, 9B3u) تم تصنيفها الى:

1- ترددات انحناء الأصرة CH خارج مستوى سطح الجزيئة ( $\gamma CH$ ).  
و تتراوح قيم تردداتها الناتجة من حسابات (DFT)(B3LYP/6-311G) بين (961-744) سم<sup>-1</sup> وشدة امتصاصها بين (204.6-0.00) كم مول<sup>-1</sup>

2- ترددات انحناء الحلقات العطرية خارج مستوى سطح الجزيئة ( $\gamma CC$ )

المعزولة Isolated matrix ولم يرد في الادبيات اي دراسة نظرية الطيف الاهتزازي للأيون الموجب لجزيئة الكورونين.

لذا تم حساب الشكل الهندسي التوازني باستخدام برنامج MINDO/3 لغرض المقارنة مع مقياسة القيم العددية العائدة لتردداتها الاهتزازية. وتم اعتماد حسابات (DFT)(B3LYP/6-311G) بصورة رئيسة للحصول على ترددات الاهتزاز التي تم تصنيفها تماثليا وتكافؤيا. كما تمت مقارنة النتائج بالقيم المقاسة تجريبيا لامندولا [10].

جذر الكورونين الموجب جزيئة مستوية planar تمتلك الشكل التماثلي D<sub>2h</sub>, و لها 102 من درجات الحرية الاهتزازية حسب العلاقة (3N-6) تم استخراجها بالاستعانة بجدول القيم الذاتية كما يأتي:

$$rtot. = 3N = 3 \times 36 = 108 = 18Ag + 8B1g + 10B2g + 18B3g + 8Au + 18B1u + 18B2u + 10B3u$$

$$rvib = 3N - 6 = (3 \times 36) - 6 = 102 = 18Ag + 7B1g + 9B2g + 17B3g + 8Au + 17B1u + 17B2u + 9B3u$$

$$\Gamma_{ip} = 2N - 3 = (2 \times 36 - 3) = 69 = 18Ag + 17B3g + 17B1u + 17B2u$$

$$\Gamma_{op} = N - 3 = 36 - 3 = 33 = 7B1g + 9B2g + 8Au + 9B3u$$

#### تصنيف ترددات الاهتزاز

أ- ترددات الأنماط الاهتزازية الواقعة عند مستوى سطح الجزيئة.

و تشتمل على تسعة وستين نمطا اهتزازيا. منها 53 نمطا (18Ag, 17B3g, 17B2u, 17B1u) فعالا في طيف رامان. و 33 نمطا (17B2u, 17B1u) فعالا في طيف الأشعة تحت الحمراء تم تصنيفها كالاتي:

1- ترددات مط الأصرة CH

The CH stretching vibrations وتتراوح قيم

تردداتها الناتجة من حسابات (DFT)(B3LYP/6-311G) بين (3076-3055) سم<sup>-1</sup> وشدة امتصاصها بين (37.24-0.00) كم مول<sup>-1</sup>, وبالاطلاع على جدول (6) يمكن التوصل الى أن:

$$vsym (CH str.) (3076 \text{ cm}^{-1}) >$$

$$vasym (CH str.) (3075 \text{ cm}^{-1})$$

2- ترددات المط الحلقية.

التمائلي (D6h) إلى الشكل التماثلي (D2h) عند التأين. وتفقر جزيئة البريلين هكذا علاقات متباينة لاحتفاظها بشكلها التماثلي (D2h) عند التأين [11].

و تتراوح قيم تردداتها الناتجة حسابات (DFT)(B3LYP/6-311G) فتتراوح بين (771-86) سم<sup>-1</sup>, وشدة امتصاصها بين (34.33-0.00) كم مول<sup>-1</sup>

#### علاقات مشتركة:

ترددات الانماط الاهتزازية الواقعة عند مستوى سطح الجزيئة.

1- ترددات مط الأصرة CH عند مقارنة ترددات الاهتزاز التماثلي لمط الأصرة CH المحسوبة على وفق طريقة الحساب-DFT (B3LYP/6-311G لجزيئة الكورونين المتعادلة وايونيها السالب والموجب لوحظت العلاقة الآتية:

$$vsym\ CH\ str.\ (C24H12)^+ >$$

$$vsym\ CH\ str.\ (C24H12) >$$

$$vsym\ CH\ str.\ (C24H12)^-$$

و تتبع الكثافة الالكترونية لالكترونات الأصرة سكما المحسوبة لذرات الكربون المساهمة في تلك الأصرة للأصناف الثلاث نفس التسلسل السابق :

$$\sigma\ CH\ str.\ (C24H12)^+ > \sigma\ CH\ str.\ (C24H12) > \sigma\ CH\ str.\ (C24H12)^-$$

و يوضح الرسم البياني (4) العلاقة الطردية بين ترددات الاهتزاز و الكثافة الالكترونية لالكترونات الأصرة سكما لأصناف الجزيئة الثلاث.

#### 2- ترددات المط الحلقية

عند دراسة ترددات المط الحلقية المتماثلة العائدة لجزيئة الكورونين وايونيها السالب والموجب تم ملاحظة العلاقة الآتية :

$$vsym\ CC\ str.\ (C24H12) >$$

$$vsym\ CC\ str.\ (C24H12)^- >$$

$$vsym\ CC\ str.\ (C24H12)^+ >$$

نستنتج من ذلك عدم وجود علاقة واضحة بين ترددات الاهتزاز ورتبة التأصر لأواصر (CC) المزدوجة منها والمنفردة العائدة للأصناف الثلاثة (متعادل وسالب وموجب) لجزيئة الكورونين وهو نفس ما تم التوصل إليه لجزيئة الكورانبولين [10] , وذلك يدعم اعتقادنا بان السبب في تباين العلاقات إنما يعود إلى تغيير الشكل التماثلي للجزيئة عند التأين حيث تتغير مجموعة النقطة لجزيئة الكورونين من الشكل

ترددات الانماط الاهتزازية الواقعة خارج مستوى سطح الجزيئة.

ترددات انحناء الأصرة CH خارج مستوى سطح الجزيئة. ( $\gamma$ CH)

$$\gamma\ CH\ (C24H12) >$$

$$\gamma\ CH\ (C24H12)^- >$$

$$\gamma\ CH\ (C24H12)^+ >$$

ترددات الانماط الاهتزازية الواقعة عند مستوى سطح الجزيئة.

ترددات انحناء الأصرة CH عند مستوى سطح الجزيئة. ( $\delta$ CH)

عند مستوى سطح الجزيئة ولأصناف CH تتبع ترددات الانحناء للأصرة جزيئة الكورونين الثلاثة (متعادل وسالب وموجب) التسلسل الآتي:

$$\delta\ sym\ CH\ (C24H12)^+ >$$

$$\delta\ sym\ CH\ (C24H12) >$$

$$\delta\ sym\ CH\ (C24H12)^-$$

$$\delta\ asym\ CH\ (C24H12)^- =$$

$$\delta\ asym\ CH\ (C24H12)^+ >$$

$$\delta\ asym\ CH\ (C24H12)$$

2- ترددات انحناء الحلقات العطرية عند مستوى سطح الجزيئة.

$$(\delta\ CCC)$$

تتبع ترددات انحناء الحلقات العطرية المتماثلة لأصناف الجزيئة الثلاث التسلسل الآتي:

$$\delta\ sym\ CCC\ (C24H12) >$$

$$\delta\ sym\ CCC\ (C24H12)^- >$$

$$\delta\ sym\ CCC\ (C24H12)^+ >$$

ترددات انحناء الحلقات العطرية خارج مستوى سطح الجزيئة.

$$\gamma\ CC\ (C24H12) >$$

$$\gamma\ CC\ (C24H12)^+ >$$

$$\gamma\ CC\ (C24H12)^-$$

- 6- U. Fleischer and P. Pulay, J. Raman Spectrosc.29,473-481, (1999).
- 7- 16- a)- Kubba, R.M., Al-Ani R.L. and Shanshal, M. (2005). Carbon  $\sigma$ -Electron Densities and C-H Stretching Vibration Frequencies of Phenanthrene. *Z. Naturforsch*, **60a**, 165-170.: b)- Kubba, R.M., Al-Ani R.R., and Shanshal, M. (2005). Frequencies and Normal Modes of Vibration of Benz(a)anthracene Radical Ions. *Z. Naturforsch.*; 60a:158-164.: c)- Kubba R.M., S.H. Rida and A.H. Hanoon, (2005). Vibration Frequencies, Normal Coordinates and IR Absorption Intensities of 1-; 1,2-; 1,3- and 1,2,3- Methylene Cyclobutane Derivatives, *Z. Naturforsch.* ;60a: 411-418. :d)- Kubba R.M., Rida S.H. and Hanoon A.H., (2005). Geometry, Vibration Frequencies, Normal Coordinates and IR Absorption Intensities of 6-Radialine. *Z. Naturforsch.* ;60a: 419-423. :e)- Kubba R.M., (2005). Aromatic C-H Bond Rupture; ADensity Functional, B3LYP, Study. *Z. Naturforsch.* ;60a: 861-862. :f)- Abdullah H.H., Kubba R.M., and Shanshal M., (2003). Vibration Frequencies Shifts of Naphthalene and Anthracene as Caused by Different Molecular Charge. *Z. Naturforsch.* ;58a: 645-655.
- 8- E. Lewars, (2004). COMPUTATIONAL CHEMISTRY "Introduction to the Theory and Applications of Molecular and Quantum Mechanics".,Chemistry Department, Trent University, Peterborough, Ontario, Canada.
- 9- Hendcourt L. and Legar, A. (1994)."In The First Symposium on the Infrared Cirrus and Diffuse Interstellar Clouds", ASP Conference Series Vol.58, R.M. Cutri, W.B. Latter, Astronomical Soc. of the Picific, San Francisco.
- 10- Hudgins M. and Allamandola, L. Infrared Spectroscopy of Matrix Isolated Polycyclic Aromatic Hydrocarbons, Cations.2. The Members of the Thermodynamically Anavailable Series Through Corannulene. *J. Phys. Chem.* 99, 3033-3046, (1995).
- 11- M. Al-Deleimy, (2005). Correlation Study of Vibration Frequencies with Bond Order of CC Bonds in Polycyclic Aromatic: Perylene, coranulene and Coronene and Their positive and Negative Radical Ions Using Quantum Mechanical Calculations., M.Sc. Thesis, College of Science, Baghdad University.

#### الاستنتاجات:

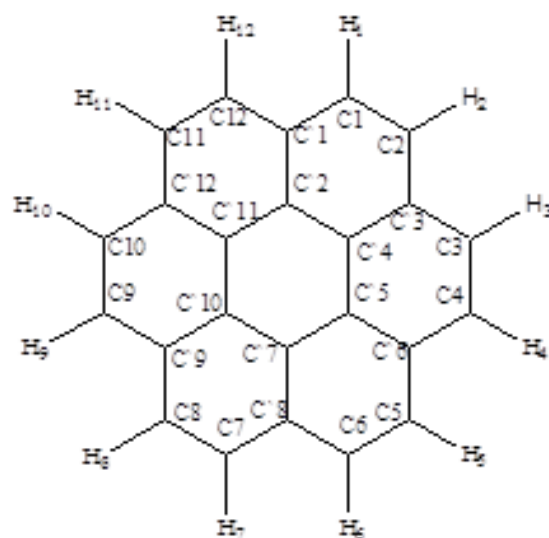
أعطت نتائج الحساب لترددات الاهتزاز للجزيئة المتعادلة وفق نظرية دوال الكثافة الاساسية DFT وطريقة الحساب شبه التجريبية MINDO/3 المقيسة القيم الاقرب للقيم التجريبية المقاسة من طريقة الحساب شبه التجريبية PM3. و يؤمل أن تكون نتائج الحساب لترددات الاهتزاز وشدة امتصاصها للجذر الموجب والجذر السالب مثل ذلك، ولهذه الترددات أهمية كبيرة لافتراض عائدة الحزم المنبعثة من الفضاء للجزيئات أمثالها، ولعدم ورود القياسات التجريبية لها في الادبيات. وأشارت محصلة النتائج الى أن اكتساب الكترون في الجذر السالب وفقدان الكترون في الجذر الموجب ادى الى تغير التماثل من D6h في الجزيئة المتعادلة الى D2h في الجذرين الموجب والسالب أتبعه تغير في أطوال الاواصر ورتبتها وثوابت القوى وفي العلاقات بين ترددات الاهتزاز للاصناف الثلاثة. كذلك لوحظ وجود علاقة طردية بين حرارة تكوين و ترددات الاهتزاز فالجذر السالب يمتلك أقل حرارة تكوين وأقل ترددات مط للاصرة CH، والجذر الموجب يمتلك أكبر حرارة تكوين وأكبر ترددات مط للاصرة CH، والجزيئة المتعادلة تمتلك قيم لحرارة التكوين وترددات مط للاصرة CH وسط بين قيمها للجذر الموجب وللجذر السالب. ويتوقع لهذه النتائج أن يكون لها أهمية ومساهمة في اغناء المعرفة العلمية للمركبات الاروماتية العضوية متعددة الحلقات، Poly Aromatic Hydrocarbons (PAHs).

#### المصادر

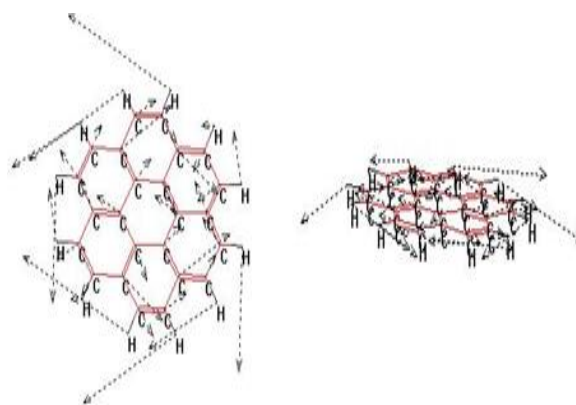
- 1- Szczepanski J. and Vala M., (1993). *J. Astrophys.*;414: 646.
- 2- Joblin C., Legar P., Legar A., D'Hendcourt L. and Defourneau D., (1994). *Astronomy and Astrophys.*; 281: 923.
- 3- Hudgins M. and Sandford, A. (1998). Infrared Spectroscopy of Matrix Isolated Polycyclic Aromatic Hydrocarbons, 2PAH Containing Firear More Ring. *J. Phys. Chem.* ;A102:344-352.
- 4- Langhoff, S.R. Theoretical Infrared Spectra for Polycyclic Aromatic Hydrocarbons, Neutral, Cations and Anions. *J. Phys.Chem.* ;100:2819, (1996).
- 5- M.J. Frish, (2003). Gaussian 03, RevisionB.03, Gaussian Pittsburgh, PA.



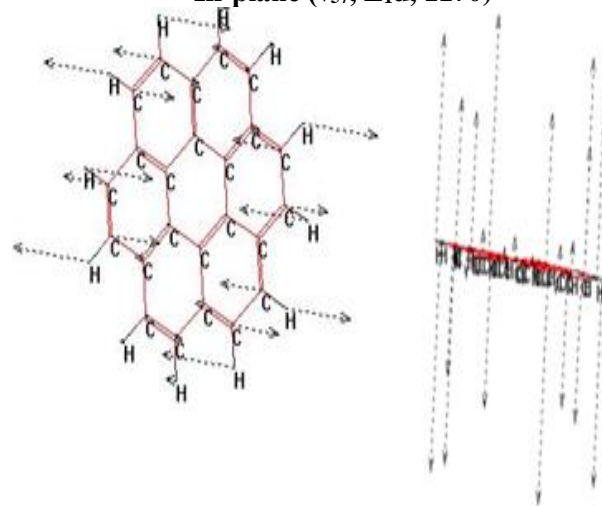
Bond length (Å) & Bond angles (deg.)	this work		
	MINDO/3	DFT (B3LYP/6 -311G)	PM3
C <sup>1</sup> C <sup>1</sup>	1.450	1.425	1.425
C <sup>1</sup> C <sup>2</sup>	1.373	1.373	1.365
C <sup>1</sup> C <sup>2</sup>	1.446	1.423	1.401
C <sup>2</sup> C <sup>4</sup>	1.475	1.429	1.427
H <sub>1</sub> C <sub>1</sub>	1.107	1.082	1.096
H <sub>2</sub> C <sub>2</sub>	1.107	1.082	1.096
<C <sup>1</sup> C <sub>1</sub> C <sub>2</sub>	122.2	121.2	120.9
<C <sub>1</sub> C <sup>1</sup> C <sup>2</sup>	117.7	118.7	119.0
<C <sub>1</sub> C <sup>1</sup> C <sub>12</sub>	124.5	122.4	121.8
<C <sub>1</sub> C <sub>2</sub> C <sub>3</sub>	122.7	121.2	120.9
<C <sup>1</sup> C <sub>2</sub> C <sup>4</sup>	119.9	120.0	120.0
<C <sup>1</sup> C <sub>2</sub> C <sup>1</sup>	119.9	120.0	120.0



شكل (1) ترميز الذرات حسب نظام IUPAC



In-plane ( $\nu_{57}$ ,  $E_{1u}$ , 1170)



Out of plane ( $\nu_{35}$ ,  $E_{1g}$ , 867)

شكل (2) أنموذج من أنماط الحركة الاهتزازية لجزيئة الكورونين المتعادلة.

Table ( 1 ): Calculated geometry for Coronene molecule.

v49	ring (CC str.)	1706	1812	1808	-----	1655	10.9176
v50	ring (CC str.)	1706	1812	1808	-----	1655	10.9176
v51	ring (CC str.)	1571	1670	1621	1603	1544	2.159
v52	ring (CC str.)	1571	1670	1621	1603	1544	2.159
v53	ring (CC str.)	1411	1591	1505	1495	1433	0.486
v54	ring (CC str.)	1411	1591	1505	1495	1433	0.486
v55	ring (CC str.)	1286	1426	1317	1313	1352	24.240
v56	ring (CC str.)	1286	1426	1317	1313	1352	24.240
v57	δCH	1170	1189	1215	1214	1253	1.146
v58	δCH	1170	1189	1215	1214	1253	1.146
v59	δCH	1102	1142	1137	1140	1177	10.500
v60	δCH	1102	1142	1137	1140	1177	10.500
v61	δ ring (δCCC)	890	955	-----	-----	826	0.009
v62	δ ring (δCCC)	890	955	-----	-----	826	0.009
v63	δ ring (δCCC)	696	698	772	775	800	5.654
v64	δ ring (δCCC)	696	698	772	775	800	5.654
v65	δ ring (δCCC)	372	403	-----	379	391	3.645
v66	δ ring (δCCC)	372	403	-----	379	391	3.645
A <sub>2g</sub>							
v9	CH str.	3030	3047	-----	-----	3030	0.000
v10	ring (CC str.)	1599	1698	-----	-----	1582	0.000
v11	δCH	1154	1168	-----	-----	1283	0.000
v12	δ ring (δCCC)	810	919	-----	-----	947	0.000
v13	δ ring (δCCC)	593	657	-----	-----	655	0.000
B <sub>2u</sub>							
v29	CH str.	3031	3045	-----	-----	3050	0.000
v30	ring (CC str.)	1569	1780	1533	-----	1525	0.000
v31	ring (CC str.)	1326	1402	-----	-----	1380	0.000
v32	δCH	109	1179	-----	-----	121	0.0

<H <sub>2</sub> C <sub>2</sub> C <sub>1</sub>	119.5	120.1	120.5
<H <sub>1</sub> C <sub>1</sub> C <sup>-1</sup>	118.1	118.6	118.5

Table (2): Vibrational frequencies for neutral Coronene molecule.

Symmetry & discription	Frequency cm <sup>-1</sup>					inte nsit y (DFT) km/mol	
	MINDO/3 scaled.	PM3	Exptl. [2,3]	Calcd. [4,6]	DFT (B3LYP/6-311G)		
A <sub>1g</sub>							
v1	CH str.	3049	3062	-----	-----	3055	0.000
v2	ring (CC str.)	1710	1799	1719	-----	1639	0.000
v3	ring (CC str.)	1390	1596	-----	-----	1384	0.000
v4	δCH	1210	1292	-----	-----	1262	0.000
v5	δ ring (δCCC)	1050	1123	-----	-----	1055	0.000
v6	δ ring (δCCC)	563	598	-----	-----	483	0.000
B <sub>1u</sub>							
v21	CH str.	3043	3063	-----	-----	3034	0.000
v22	ring (CC str.)	1588	1741	1579	-----	1584	0.000
v23	ring (CC str.)	1431	1515	-----	-----	1470	0.000
v24	δCH	1123	1265	-----	-----	1196	0.000
v25	δ ring (δCCC)	1092	1135	-----	-----	690	0.000
v26	δ ring (δCCC)	437	485	-----	-----	567	0.000
E <sub>1u</sub>							
v45	CH str.	3047	3062	3051	-----	3054	155.937
v46	CH str.	3047	3062	3051	-----	3054	155.937
v47	CH str.	3030	3047	3044	-----	3031	10.462
v48	CH str.	3030	3047	3044	-----	3031	10.462



					--		00
v8	$\gamma$ CC	447	459	-----	-----	537	0.0 00
A <sub>2u</sub>							
v14	$\gamma$ CH	820	889	-----	-----	895	197 .98 3
v15	$\gamma$ CC	545	558	-----	-----	572	41. 456
v16	$\gamma$ CC	129	123	-----	-----	129	7.2 57
B <sub>2g</sub>							
v27	$\gamma$ CH	748	790	-----	-----	726	0.0 00
v28	$\gamma$ CC	142	139	-----	-----	232	0.0 00
E <sub>1g</sub>							
v35	$\gamma$ CH	867	981	-----	-----	990	0.0 00
v36	$\gamma$ CH	867	981	-----	-----	990	0.0 00
v37	$\gamma$ CH	805	868	-----	-----	871	0.0 00
v38	$\gamma$ CH	805	868	-----	-----	871	0.0 00
v39	$\gamma$ CC	619	651	-----	-----	672	0.0 00
v40	$\gamma$ CC	619	651	-----	-----	672	0.0 00
v41	$\gamma$ CC	407	408	-----	-----	464	0.0 00
v42	$\gamma$ CC	407	408	-----	-----	464	0.0 00
v43	$\gamma$ CC	285	285	-----	-----	302	0.0 00
v44	$\gamma$ CC	285	285	-----	-----	302	0.0 00
E <sub>2u</sub>							
v91	$\gamma$ CH	873	1001	-----	-----	1004	0.0 00
v92	$\gamma$ CH	873	1001	-----	-----	1004	0.0 00
v93	$\gamma$ CH	776	842	-----	-----	824	0.0 00
v94	$\gamma$ CH	776	842	-----	-----	824	0.0 00
v95	$\gamma$ CC	730	791	-----	-----	745	0.0 00
v96	$\gamma$ CC	730	791	-----	-----	745	0.0 00
v97	$\gamma$ CC	531	536	-----	-----	559	0.0 00
v98	$\gamma$ CC	531	536	-----	-----	559	0.0 00
v99	$\gamma$ CC	267	270	-----	-----	307	0.0 00
v100	$\gamma$ CC	267	270	-----	-----	307	0.0 00
v101	$\gamma$ CC	77	78	-----	-----	90	0.0 00
v102	$\gamma$ CC	77	78	-----	-----	90	0.0 00

		9		--	--	7	00
v33	$\delta$ ring ( $\delta$ CCC)	639	692	-----	-----	1186	0.0 00
v34	$\delta$ ring ( $\delta$ CCC)	527	580	550	549	492	0.0 00
E <sub>2g</sub>							
v67	CH str.	3044	3063	-----	-----	3052	0.0 00
v68	CH str.	3044	3063	-----	-----	3052	0.0 00
v69	CH str.	3031	3046	-----	-----	3033	0.0 00
v70	CH str.	3031	3046	-----	-----	3033	0.0 00
v71	ring (CC str.)	1675	1821	1696	-----	1656	0.0 00
v72	ring (CC str.)	1675	1821	1696	-----	1656	0.0 00
v73	ring (CC str.)	1518	1653	1530	-----	1494	0.0 00
v74	ring (CC str.)	1518	1653	1530	-----	1494	0.0 00
v75	ring (CC str.)	1439	1582	1498	-----	1470	0.0 00
v76	ring (CC str.)	1439	1582	1498	-----	1470	0.0 00
v77	ring (CC str.)	1354	1489	-----	-----	1435	0.0 00
v78	ring (CC str.)	1354	1489	-----	-----	1435	0.0 00
v79	$\delta$ CH	1225	1283	-----	-----	1263	0.0 00
v80	$\delta$ CH	1225	1283	-----	-----	1263	0.0 00
v81	$\delta$ CH	1121	1154	-----	-----	1203	0.0 00
v82	$\delta$ CH	1121	1154	-----	-----	1203	0.0 00
v83	$\delta$ ring ( $\delta$ CCC)	1022	1085	-----	-----	1017	0.0 00
v84	$\delta$ ring ( $\delta$ CCC)	1022	1085	-----	-----	1017	0.0 00
v85	$\delta$ ring ( $\delta$ CCC)	635.6	693	-----	-----	702	0.0 00
v86	$\delta$ ring ( $\delta$ CCC)	635.6	693	-----	-----	702	0.0 00
v87	$\delta$ ring ( $\delta$ CCC)	472	525	-----	-----	508	0.0 00
v88	$\delta$ ring ( $\delta$ CCC)	472	525	-----	-----	508	0.0 00
v89	$\delta$ ring ( $\delta$ CCC)	373	366	-----	-----	376	0.0 00
v90	$\delta$ ring ( $\delta$ CCC)	373	366	-----	-----	376	0.0 00
	Out of plane						
A <sub>1u</sub>							
v7	$\gamma$ CH	863	967	846	-----	982	0.0

H <sub>5</sub> C <sub>5</sub>	1.109	1.086
H <sub>4</sub> C <sub>4</sub>	1.108	1.086
H <sub>3</sub> C <sub>3</sub>	1.112	1.084
H <sub>2</sub> C <sub>2</sub>	1.112	1.084
H <sub>1</sub> C <sub>1</sub>	1.108	1.084
C <sub>7</sub> C <sub>8</sub>	1.467	1.437
C <sub>6</sub> C <sub>8</sub>	1.421	1.440
C <sub>5</sub> C <sub>6</sub>	1.400	1.374
C <sub>6</sub> C <sub>5</sub>	1.421	1.421
C <sub>5</sub> C <sub>7</sub>	1.468	1.426
C <sub>2</sub> C <sub>4</sub>	1.465	1.435
C <sub>1</sub> C <sub>1</sub>	1.461	1.408

Mindo/3 scaling factors: 0.876 (CH str.); 0.96 (ring (CC) str.); 1.06 ( $\delta$ CH); 1.08 (ring( $\delta$ CCC)); 1.11 ( $\gamma$ CH); 1.11 ( $\gamma$ CCC); 1.03 ( $\gamma$ CC).

Special scaling factors were used for vibration modes with overlaps of different types of motion; 1.06 (ring (CCC) str. +  $\delta$ CH); 1.11 ( $\gamma$ CCC +  $\gamma$ CH) or ( $\gamma$ CC +  $\gamma$ CH); 1.03 ( $\gamma$ CH +  $\gamma$ CC).[7]

$\gamma$ : out of plane bending vibration.,  $\delta$ : in- plane bending vibration.

**Table (3): Calculated geometry for Coronene anion radical.**

Bond length (Å) & Bond angles (deg.)	MINDO/3	DFT (B3LYP/6-311G)
C <sub>1</sub> C <sub>2</sub>	1.371	1.398
C <sub>2</sub> C <sub>3</sub>	1.415	1.408
C <sub>3</sub> C <sub>3</sub>	1.445	1.440
C <sub>3</sub> C <sub>4</sub>	1.371	1.374
C <sub>4</sub> C <sub>6</sub>	1.461	1.421
C <sub>5</sub> C <sub>6</sub>	1.468	1.443
C <sub>4</sub> C <sub>5</sub>	1.465	1.426
C <sub>3</sub> C <sub>4</sub>	1.468	1.437

$< H_{32}C_{19}C_{14}$	118.0	-----
$< H_{35}C_{23}C_{17}$	119.1	-----
$< H_{36}C_{24}C_{20}$	119.1	-----
Heat of formation ( $\Delta H_f$ ) 126.979 kcal/ mol		

Table (4): Vibrational frequencies and IR absorption intensities for Coronene radical anion.

Symmetry & Description		Frequency $cm^{-1}$		Intensity (DFT) (km/mole)
		MINDO/3 Scaled	DFT (B3LYP/6- 311G)	
<b>in-plane</b>				
$A_g$				
$\nu_1$	CH str.	3023	3027	0.00
$\nu_2$	CH str.	3009	3019	0.00
$\nu_3$	CH str.	2991	2995	0.00
$\nu_4$	ring str. (CC)	1647	1651	0.00
$\nu_5$	ring str. (CC)	1551	1615	0.00
$\nu_6$	ring str. (CC)	1416	1490	0.00
$\nu_7$	ring str. (CC)	1404	1473	0.00
$\nu_8$	ring str. (CC)	1385	1433	0.00
$\nu_9$	ring str. (CC)	1298	1394	0.00
$\nu_{10}$	$\delta$ CH	1207	1280	0.00
$\nu_{11}$	$\delta$ CH	1153	1259	0.00
$\nu_{12}$	$\delta$ CH	1107	1190	0.00
$\nu_{13}$	$\delta$ ring ( $\delta$ CCC)	1047	1063	0.00
$\nu_{14}$	$\delta$ ring ( $\delta$ CCC)	1015	1011	0.00
$\nu_{15}$	$\delta$ ring ( $\delta$ CCC)	643	700	0.00
$\nu_{16}$	$\delta$ ring ( $\delta$ CCC)	473	507	0.00
$\nu_{17}$	$\delta$ ring ( $\delta$ CCC)	431	484	0.00

$H_6C_6$	1.109	1.084
$< C_2C_4C_5$	119.9	-----
$< C_2C_4C_3$	120.0	-----
$< C_4C_3C_3$	117.3	-----
$< C_3C_3C_4$	123.0	-----
$< C_4C_5C_6$	120.2	-----
$< C_4C_3C_2$	117.3	-----
$< C_5C_6C_5$	117.8	-----
$< C_7C_8C_6$	117.8	-----
$< H_{29}C_{15}C_{14}$	118.0	-----
$< H_{30}C_{16}C_{15}$	119.6	-----
$< H_{31}C_{18}C_9$	118.0	-----

v <sub>93</sub>	$\delta$ ring ( $\delta$ CCC)	117	131	0.00
	Out of plane			
Au				
v <sub>19</sub>	$\gamma$ CH	861	1022	0.00
v <sub>20</sub>	$\gamma$ CH	825	999	0.00
v <sub>21</sub>	$\gamma$ CH	738	828	0.00
v <sub>22</sub>	$\gamma$ CC	688	713	0.00
v <sub>23</sub>	$\gamma$ CC	521	535	0.00
v <sub>24</sub>	$\gamma$ CC	499	506	0.00
v <sub>25</sub>	$\gamma$ CC	298	331	0.00
v <sub>26</sub>	$\gamma$ CC	70	87	0.00
B <sub>1g</sub>				
v <sub>27</sub>	$\gamma$ CH	859	1014	0.00
v <sub>28</sub>	$\gamma$ CH	821	890	0.00
v <sub>29</sub>	$\gamma$ CH	707	806	0.00
v <sub>30</sub>	$\gamma$ CC	634	655	0.00
v <sub>31</sub>	$\gamma$ CC	423	448	0.00
v <sub>32</sub>	$\gamma$ CC	277	288	0.00
v <sub>33</sub>	$\gamma$ CC	162	201	0.00
B <sub>2g</sub>				
v <sub>51</sub>	$\gamma$ CH	993	1031	0.00
v <sub>52</sub>	$\gamma$ CH	829	1006	0.00
v <sub>53</sub>	$\gamma$ CH	829	1006	0.00
v <sub>54</sub>	$\gamma$ CH	769	885	0.00
v <sub>55</sub>	$\gamma$ CC	678	692	0.00
v <sub>56</sub>	$\gamma$ CC	590	654	0.00
v <sub>57</sub>	$\gamma$ CC	450	584	0.00
v <sub>58</sub>	$\gamma$ CC	320	386	0.00
v <sub>59</sub>	$\gamma$ CC	268	301	0.00
v <sub>60</sub>	$\gamma$ CC	224	251	0.00
B <sub>3u</sub>				
v <sub>94</sub>	$\gamma$ CH	867	1027	4.23
v <sub>95</sub>	$\gamma$ CH	823	914	192.80
v <sub>96</sub>	$\gamma$ CH	719	844	0.21
v <sub>97</sub>	$\gamma$ CC	698	703	1.28
v <sub>98</sub>	$\gamma$ CC	560	573	32.45
v <sub>99</sub>	$\gamma$ CC	505	549	9.39
v <sub>100</sub>	$\gamma$ CC	268	303	0.17
v <sub>101</sub>	$\gamma$ CC	128	130	3.94
v <sub>102</sub>	$\gamma$ CC	75	91	0.12

$\gamma$ : out of plane bending vibration. ,  $\delta$ : in- plane bending vibration.

Scaling factors: 0.96 (CH str.) for all DFT (B3LYP/6-311G) frequencies, [8].

جدول (5): ابعاد وزوايا التآصر المحسوبة لجذرالكورونين الموجب.

Bond length (Å) & Bond angles (deg.)	MINDO/3	DFT (B3LYP/6-311G)
--------------------------------------	---------	--------------------

v <sub>18</sub>	$\delta$ ring ( $\delta$ CCC)	336	378	0.00
B <sub>1u</sub>				
v <sub>34</sub>	CH str.	3015	3023	352.00
v <sub>35</sub>	CH str.	2994	2998	6.23
v <sub>36</sub>	CH str.	2990	2994	141.00
v <sub>37</sub>	ring (CC str.)	1616	1632	6.55
v <sub>38</sub>	ring (CC str.)	1548	1571	2.53
v <sub>39</sub>	ring (CC str.)	1494	1536	42.17
v <sub>40</sub>	ring (CC str.)	1433	1475	3.46
v <sub>41</sub>	ring (CC str.)	1360	1428	57.88
v <sub>42</sub>	ring (CC str.)	1269	1349	22.64
v <sub>43</sub>	$\delta$ CH	1158	1264	28.61
v <sub>44</sub>	$\delta$ CH	1125	1196	2.86
v <sub>45</sub>	$\delta$ CH	1095	1185	35.69
v <sub>46</sub>	$\delta$ ring ( $\delta$ CCC)	766	809	31.45
v <sub>47</sub>	$\delta$ ring ( $\delta$ CCC)	736	790	11.37
v <sub>48</sub>	$\delta$ ring ( $\delta$ CCC)	636	687	2.54
v <sub>49</sub>	$\delta$ ring ( $\delta$ CCC)	533	561	1.23
v <sub>50</sub>	$\delta$ ring ( $\delta$ CCC)	371	391	6.66
B <sub>2u</sub>				
v <sub>78</sub>	CH str.	2993	2997	0.00
v <sub>79</sub>	CH str.	2981	2990	0.00
v <sub>80</sub>	ring (CC str.)	1569	1582	0.00
v <sub>81</sub>	ring (CC str.)	1520	1548	0.00
v <sub>82</sub>	ring (CC str.)	1488	1505	0.00
v <sub>83</sub>	ring (CC str.)	1393	1450	0.00
v <sub>84</sub>	ring (CC str.)	1266	1355	0.00
v <sub>85</sub>	$\delta$ CH	1245	1285	0.00
v <sub>86</sub>	$\delta$ CH	1126	1223	0.00
v <sub>87</sub>	$\delta$ CH	1032	1045	0.00
v <sub>88</sub>	$\delta$ ring ( $\delta$ CCC)	860	946	0.00
v <sub>89</sub>	$\delta$ ring ( $\delta$ CCC)	686	757	0.00
v <sub>90</sub>	$\delta$ ring ( $\delta$ CCC)	619	675	0.00
v <sub>91</sub>	$\delta$ ring ( $\delta$ CCC)	567	648	0.00
v <sub>92</sub>	$\delta$ ring ( $\delta$ CCC)	401	493	0.00

$< C^4 C^5 C^6$	120.1	-----	-----	$H_6 C_6$ $< C^2 C^4 C^5$	1.105 120.0	1.081 -----	$H_5 C_5$	1.105	1.081	$H_4 C_4$	1.106	1.081	$H_3 C_3$	1.104	1.081	$H_2 C_2$	1.104	1.081	$H_1 C_1$	1.106	1.081	$C^7 C^8$	1.471	1.425	$C_6 C^8$	1.430	1.437	$C_5 C_6$	1.406	1.371
$< C^4 C^5 C^6$	117.8	-----	-----	$< C^4 C^3 C_3$	119.8	-----																								

$C^6 C_5$	1.419	1.467	1.420	$C^5 C^7$	1.467	1.459	1.426	$C^2 C^4$	1.467	1.487	1.425	$C_3 C^4$	1.459	1.470	1.439	$C_4 C^6$	1.467	1.425	$C_3 C_4$	1.372	1.371	$C_3 C^3$	1.447	1.437	$C_2 C^3$	1.447	1.408	$C_1 C_2$	1.372	1.396
	1.425	1.420	1.420		1.408	1.425	1.426		1.408	1.487	1.425		1.459	1.470	1.439		1.425													

v <sub>2</sub>	CH str.	306 2	307 2	----	0.00	----
v <sub>3</sub>	CH str.	305 6	305 7	----	0.00	----
v <sub>4</sub>	ring (CC str.)	158 4	163 9	----	0.00	----
v <sub>5</sub>	ring (CC str.)	154 7	160 8	----	0.00	----
v <sub>6</sub>	ring (CC str.)	144 2	147 4	----	0.00	----
v <sub>7</sub>	ring (CC str.)	141 0	145 6	----	0.00	----
v <sub>8</sub>	ring (CC str.)	136 8	141 7	----	0.00	----
v <sub>9</sub>	ring (CC str.)	132 6	137 1	----	0.00	----
v <sub>10</sub>	δCH	122 9	126 2	----	0.00	----
v <sub>11</sub>	δCH	120 1	123 5	----	0.00	----
v <sub>12</sub>	δCH	110 8	117 0	----	0.00	----
v <sub>13</sub>	δ ring (δCCC )	104 3	104 4	----	0.00	----
v <sub>14</sub>	δ ring (δCCC )	100 1	100 8	----	0.00	----
v <sub>15</sub>	δ ring (δCCC )	632	701	----	0.00	----
v <sub>16</sub>	δ ring (δCCC )	553	504	----	0.00	----
v <sub>17</sub>	δ ring (δCCC )	473	480	----	0.00	----
v <sub>18</sub>	δ ring (δCCC )	343	374	----	0.00	----
B <sub>1u</sub>						
v <sub>34</sub>	CH str.	306 7	307 5	----	37.24	----
v <sub>35</sub>	CH str.	305 6	305 7	----	0.29	----
v <sub>36</sub>	CH str.	305 2	305 5	----	0.42	----
v <sub>37</sub>	ring (CC str.)	156 1	161 1	----	106.00	----
v <sub>38</sub>	ring (CC str.)	152 1	155 2	----	22.00	----

< C <sup>5</sup> C <sup>6</sup> C <sup>5</sup>	118.0	----
< C <sup>7</sup> C <sup>8</sup> C <sup>6</sup>	117.2	----
< H <sub>29</sub> C <sub>15</sub> C <sub>14</sub>	118	----
< H <sub>30</sub> C <sub>16</sub> C <sub>15</sub>	119.3	----
< H <sub>31</sub> C <sub>18</sub> C <sub>9</sub>	117.6	----
< H <sub>32</sub> C <sub>19</sub> C <sub>14</sub>	119.8	----
< H <sub>35</sub> C <sub>23</sub> C <sub>17</sub>	119.0	----
< H <sub>36</sub> C <sub>24</sub> C <sub>20</sub>	118.2	----
Heat of formation	303,810 kcal/mol	

Table (6): Vibrational frequencies and IR absorption intensities for Coronene cation radical

Symmetry & description	Frequency cm <sup>-1</sup>			Intensity (km/mol)	
	MINDO/3 Scaled	DFT (B3LYP/6-311G)	Exptl. [2, 3]	DFT (B3LYP/6-311G)	Exptl. [2, 3]
	in-plane				
A <sub>g</sub>					
v <sub>1</sub>	CH str.	306 9	307 6	----	0.00



v7 0	δCH	116 2	122 6	----	37.00	----
v7 1	δCH	110 3	116 1	----	1.61	----
v7 2	δ ring (δCCC )	108 4	114 4	----	89.00	----
v7 3	δ ring (δCCC )	817	871	----	10.70	----
v7 4	δ ring (δCCC )	687	792	----	4.86	----
v7 5	δ ring (δCCC )	436	485	----	5.17	----
v7 6	δ ring (δCCC )	366	383	----	35.90	----
B3 g						
v7 7	CH str.	306 7	307 4	----	0.00	----
v7 8	CH str.	305 6	305 7	----	0.00	----
v7 9	CH str.	305 2	305 5	----	0.00	----
v8 0	ring (CC str.)	158 2	157 4	----	0.00	----
v8 1	ring (CC str.)	152 4	152 2	----	0.00	----
v8 2	ring (CC str.)	148 1	148 4	----	0.00	----
v8 3	ring (CC str.)	139 2	142 1	----	0.00	----
v8 4	ring (CC str.)	128 4	133 2	----	0.00	----
v8 5	δCH	120 4	127 2	----	0.00	----
v8 6	δCH	114 4	120 4	----	0.00	----
v8 7	δCH	101 1	110 5	----	0.00	----
v8 8	δ ring (δCCC )	938	101 1	----	0.00	----
v8 9	δ ring (δCCC )	702	806	----	0.00	----
v9 0	δ ring (δCCC )	639	652	----	0.00	----
v9 1	δ ring (δCCC )	584	590	----	0.00	----

v3 9	ring (CC str.)	147 4	151 3	----	130.00	----
v4 0	ring (CC str.)	136 7	145 7	----	5.90	----
v4 1	ring (CC str.)	131 0	139 9	----	128.00	----
v4 2	ring (CC str.)	128 4	133 7	----	36.00	----
v4 3	δCH	115 8	124 8	----	26.30	----
v4 4	δCH	109 1	118 7	----	4.87	----
v4 5	δCH	108 7	115 8	----	1.41	----
v4 6	δ ring (δCCC )	803	859	----	19.40	----
v4 7	δ ring (δCCC )	699	782	----	17.30	----
v4 8	δ ring (δCCC )	638	686	----	8.50	----
v4 9	δ ring (δCCC )	517	556	----	1.76	----
v5 0	δ ring (δCCC )	355	390	----	9.24	----
B2 u						
v6 0	CH str.	306 7	307 4	----	23.55	----
v6 1	CH str.	306 2	307 2	----	10.99	----
v6 2	CH str.	305 6	305 6	----	2.51	----
v6 3	ring (CC str.)	155 7	160 4	157 9	170.00	148. 00
v6 4	ring (CC str.)	151 2	152 5	----	12.40	----
v6 5	ring (CC str.)	144 9	147 5	----	27.30	----
v6 6	ring (CC str.)	137 3	137 7	----	0.09	----
v6 7	ring (CC str.)	129 9	135 5	137 7	43.30	31.1 0
v6 8	ring (CC str.)	127 7	132 8	----	363.00	----
v6 9	δCH	126 0	125 4	----	80.70	----

$v_9^5$	$\gamma_{CC}$	193	232	-----	0.00	-----
$B_{3u}$						
$v_9^4$	$\gamma_{CH}$	835	958	-----	0.61	-----
$v_9^5$	$\gamma_{CH}$	791	837	875	204.60	179.00
$v_9^6$	$\gamma_{CH}$	744	767	-----	1.59	-----
$v_9^7$	$\gamma_{CC}$	717	741	-----	0.32	-----
$v_9^8$	$\gamma_{CC}$	539	559	-----	34.33	-----
$v_9^9$	$\gamma_{CC}$	505	543	-----	3.97	-----
$v_{10}$	$\gamma_{CC}$	252	284	-----	0.21	-----
$v_{101}$	$\gamma_{CC}$	125	135	-----	12.45	-----
$v_{102}$	$\gamma_{CC}$	75	90	-----	0.047	-----

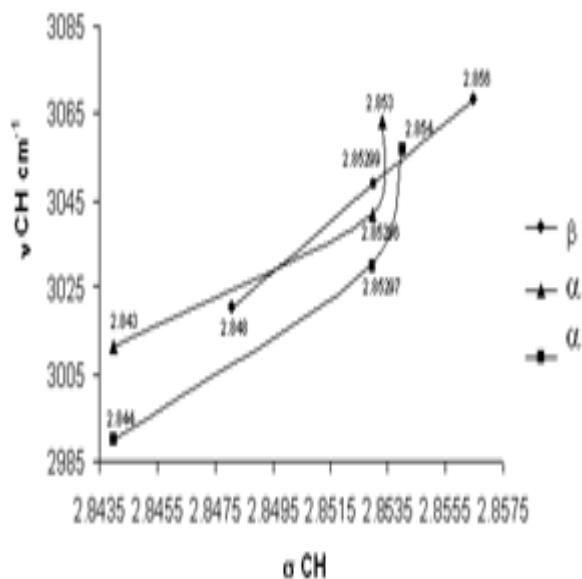
Mindo/3 scaling factors: 0.876 (CH str.); 0.96 (ring (CC) str.); 1.06 ( $\delta_{CH}$ ); 1.08 (ring ( $\delta_{CCC}$ )); 1.11 ( $\gamma_{CH}$ ); 1.11 ( $\gamma_{CCC}$ ); 1.03 ( $\gamma_{CC}$ ).

Special scaling factors were used for vibration modes with overlaps of different types of motion; 1.06 (ring (CCC) str. +  $\delta_{CH}$ ); 1.11 ( $\gamma_{CCC}$  +  $\gamma_{CH}$ ) or ( $\gamma_{CC}$  +  $\gamma_{CH}$ ); 1.03 ( $\gamma_{CH}$  +  $\gamma_{CC}$ ). [6]

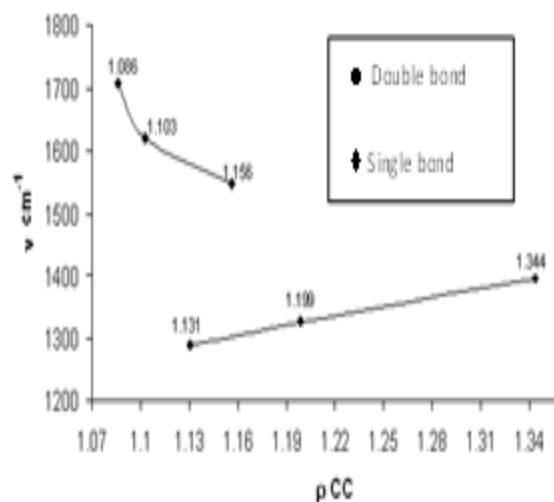
Scaling factors: 0.96 (CH str.) for all DFT (B3LYP/6-311G) frequencies, [8].

$\gamma$ : out of plane bending vibration.,  $\delta$ : in- plane bending vibration.

$v_9^2$	$\delta$ ring ( $\delta_{CCC}$ )	434	450	-----	0.00	-----
$v_9^3$	$\delta$ ring ( $\delta_{CCC}$ )	138	336	-----	0.00	-----
	Out of plane					
$A_u$						
$v_9^1$	$\gamma_{CH}$	841	939	-----	0.00	-----
$v_{10}^2$	$\gamma_{CH}$	826	892	-----	0.00	-----
$v_{11}^2$	$\gamma_{CH}$	749	786	-----	0.00	-----
$v_{12}^2$	$\gamma_{CC}$	710	753	-----	0.00	-----
$v_{13}^2$	$\gamma_{CC}$	494	552	-----	0.00	-----
$v_{14}^2$	$\gamma_{CC}$	412	508	-----	0.00	-----
$v_{15}^2$	$\gamma_{CC}$	258	310	-----	0.00	-----
$v_{16}^2$	$\gamma_{CC}$	72	86	-----	0.00	-----
$B_{1g}$						
$v_{17}^2$	$\gamma_{CH}$	828	936	-----	0.00	-----
$v_{18}^2$	$\gamma_{CH}$	777	823	-----	0.00	-----
$v_{19}^2$	$\gamma_{CH}$	720	744	-----	0.00	-----
$v_{20}^3$	$\gamma_{CC}$	607	669	-----	0.00	-----
$v_{21}^3$	$\gamma_{CC}$	382	467	-----	0.00	-----
$v_{22}^3$	$\gamma_{CC}$	262	302	-----	0.00	-----
$v_{23}^3$	$\gamma_{CC}$	134	156	-----	0.00	-----
$B_{2g}$						
$v_{24}^5$	$\gamma_{CH}$	843	961	-----	0.00	-----
$v_{25}^5$	$\gamma_{CH}$	832	895	-----	0.00	-----
$v_{26}^5$	$\gamma_{CH}$	779	806	-----	0.00	-----
$v_{27}^5$	$\gamma_{CC}$	738	771	-----	0.00	-----
$v_{28}^5$	$\gamma_{CC}$	604	643	-----	0.00	-----
$v_{29}^5$	$\gamma_{CC}$	573	584	-----	0.00	-----
$v_{30}^5$	$\gamma_{CC}$	380	433	-----	0.00	-----
$v_{31}^5$	$\gamma_{CC}$	275	282	-----	0.00	-----



شكل (5) العلاقة بين ترددات الاهتزاز لأواصر CC ورتبة التاصر لذرات الكربون العائدة لتلك الأواصر للأصناف الثلاثة (المتعادل والسالب والموجب) لجزيئة الكورونين



شكل (4) العلاقة بين ترددات الاهتزاز لاواصر CH والكثافة الالكترونية لذرات الكربون العائدة لتلك الاواصر للأصناف الثلاثة (المتعادل والسالب والموجب) لجزيئة الكورونين.

## COMPARISON STUDY OF VIBRATION FREQUENCIES WITH BOND ORDERS OF CH AND CC BONDS IN CORONENE AND IT'S POSITIVE AND NEGATIVE RADICAL IONS USING QUANTUM MECHANICAL CALCULATIONS

REHAB M. KUBBA, MANAL AL-DELEIMY AND MUTHANA SHANSHAL

### ABSTRACT.:

Vibration frequencies, IR absorption intensities and normal coordinates of the Coronene radical cation and anion were calculated applying the semiempirical methods MINDO/3 and PM3, and quantum mechanical method (DFT (B3LYP/6-311G)). The results allowed proper assignments for the frequencies of the experimentally known, radical cation vibrations. They provided preestimation of the radical anion frequencies. Comparison is done for the frequencies of the ions with those of the neutral Coronene molecule. It was found that the C-H stretching frequencies are directly related to the carbon  $\sigma$ -electron densities of the relevant atoms. This is not true for the change in the CC stretching frequencies, which seem to be due to the change in symmetry from D6h for the neutral molecule to D2h for its positive and negative radical ions.